
РОБАСТНОЕ ОБУЧЕНИЕ РАДИАЛЬНО-БАЗИСНЫХ СЕТЕЙ

Ключевые слова: *нейронная сеть, робастное обучение, нелинейный объект, идентификация, базисная функция.*

ВВЕДЕНИЕ

Радиально-базисные сети (РБС) находят широкое применение в задачах идентификации, управления, распознавания образов и др. [1–3]. Наличие достаточно эффективных рекуррентных алгоритмов обучения данных сетей позволяет применять их для решения указанных задач в реальном времени [4–8]. На практике как обучение сети, так и ее дальнейшее использование приходится осуществлять с учетом присутствующих помех измерений.

Большинство существующих в настоящее время методов обучения основано на использовании жестких и труднопроверяемых условий, связанных с гипотезой нормальности закона распределения помех и обоснованных ссылками на центральную предельную теорему. Как известно [9], нормальным законом плотности распределения описываются помехи, присутствующие в измерениях, проводимых при абсолютной стабильности условий измерения, законом Лапласа, имеющем более длинные «хвосты» — помехи, возникающие при максимальной нестабильности условий. Соответственно алгоритмы обучения в случае гауссовых помех основаны на методе наименьших квадратов (МНК), а в случае помех, распределенных по закону Лапласа, — на методе наименьших модулей (МНМ). Оба метода являются оптимальными в своих условиях, и решения, получаемые с их помощью, могут существенно отличаться. Кроме того, так как на практике эти крайние случаи реализуются чрезвычайно редко, ни закон Гаусса, ни закон Лапласа, как правило, не выполняются.

В [10, 11] рассмотрены некоторые типы классов распределений, встречающиеся при решении практических задач: P_1 — класс невырожденных распределений, P_2 — класс распределений с ограниченной дисперсией, P_5 — класс финитных распределений (помеха ограничена по абсолютной величине, а какие-либо сведения о плотности ее распределения отсутствуют), P_3 , P_4 и P_6 — классы приближенно нормальных, приближенно равномерных и приближенно финитных распределений соответственно, описываемых моделью Тьюки–Хьюбера [12–14]

$$p(x) = (1 - \varepsilon)p_0(x) + \varepsilon q(x), \quad (1)$$

где $p_0(x)$ — плотность соответствующего основного распределения; $q(x)$ — плотность засоряющего (произвольного) распределения; $\varepsilon \in [0, 1]$ — параметр, характеризующий степень засорения основного распределения.

Для всех этих классов найдены наименее благоприятные, т.е. минимизирующие фишеровскую информацию, распределения. Так, минимум фишеровской информации для класса P_1 дает распределение Лапласа $p^*(\xi) = L(0, s_\xi)$, для класса P_2 — распределение Гаусса $p^*(\xi) = N(0, \sigma^2)$, для классов финитных

распределений наименее благоприятной плотностью является

$$p^*(\xi) = \begin{cases} \frac{1}{l} \cos^2 \frac{\pi \xi}{2l} & \text{при } |\xi| \leq l, \\ 0 & \text{при } |\xi| > l. \end{cases}$$

Для ε -засоренных вероятностных распределений (1) плотность распределения p^* , дающего минимум фишеровской информации, содержит некоторую центральную область $p = (1 - \varepsilon)p_0(\xi)$ и «хвосты» с экспоненциально убывающей плотностью $p_0(\xi) = ce^{-\lambda|\xi|}$.

Использование этих распределений позволило получить нелинейные оценки огрубленного или робастного метода максимального правдоподобия, работоспособные практически для любых распределений помех.

Рекуррентные одномерные алгоритмы оценивания, базирующиеся на методе стохастической аппроксимации и требующие минимальных вычислительных затрат, обеспечивая при этом ту же асимптотическую точность оценивания, что и нерекуррентные, приведены в [10]. В работе [11] разработаны многомерные абсолютно оптимальные алгоритмы оценивания параметров линейной регрессионной модели, имеющие структуру, аналогичную структуре рекуррентного МНК, и работоспособные после количества тактов, превышающего число неизвестных параметров.

Цель настоящей статьи — исследование робастных проекционных алгоритмов, с помощью которых обучение можно осуществлять, начиная с первого такта поступления информации.

ПОСТАНОВКА ЗАДАЧИ

Рассмотрим нелинейный объект, описываемый уравнением

$$y(k) = f^*(w^*, x(k)) + \xi(k), \quad (2)$$

где $f^*(\cdot)$ — неизвестная нелинейная функция; $x(k) = (x_1(k), x_2(k), \dots, x_N(k))^T$ — вектор независимых переменных; $w^* = (w_1^*, w_2^*, \dots, w_N^*)^T$ — вектор неизвестных параметров; $\xi(k)$ — помеха.

Представление нелинейности $f^*(\cdot)$ радиально-базисной сетью

$$f(x(k)) = c^T \Phi(k), \quad (3)$$

где $\Phi(k) = (1, \varphi_1(k), \varphi_2(k), \dots, \varphi_N(k))^T$ — вектор выбранных базисных функций (БФ); $c = (c_0, c_1, \dots, c_N)^T$ — вектор весовых коэффициентов, позволяет свести задачу идентификации к задаче обучения сети, которое должно обеспечить определение ее параметров, в частности вектора c .

При использовании гауссовых функций

$$\Phi_i(x) = \exp \left\{ -\frac{\|x - \mu_i\|^2}{\sigma_i^2} \right\}, \quad (4)$$

в качестве базисных, где μ_i, σ_i — центры и радиусы БФ соответственно; $\|\cdot\|$ — евклидова норма, в результате обучения помимо оценок коэффициентов c_i должны быть получены и оценки μ_i и σ_i .

Введя вектор оценок настраиваемых параметров

$$\mathbf{w} = (c_0, c_1, \mu_1^T, \sigma_1, \dots, c_N, \mu_N^T, \sigma_N)^T, \quad (5)$$

нейросетевую модель (3) можно представить в виде

$$\hat{y}(k) = f(\mathbf{w}, \mathbf{x}(k)). \quad (6)$$

Задача обучения сети заключается в минимизации некоторой выпуклой функции потерь $F[e]$, где $e(k) = y(k) - \hat{y}(k)$.

Робастные оценки определяются из условия

$$\mathbf{w}(k) = \arg \min I_k(\mathbf{w}), \quad I_k(\mathbf{w}) = \sum_{i=1}^k F[e(\mathbf{w}, \mathbf{x}(k))], \quad F(e) = -\ln p(\xi)|_{\xi=e} \quad (7)$$

и являются оптимальными в минимаксном смысле на соответствующих классах распределений.

Оптимальная функция потерь, т.е. функция, минимизирующая асимптотическую матрицу ковариации ошибок оценивания, равна логарифму плотности распределения помехи при $\xi = e(\mathbf{x}, \mathbf{w})$, взятой с обратным знаком,

$$F_0[e(\mathbf{x}, \mathbf{w})] = -\ln p_0(\xi)|_{\xi=e(\mathbf{x}, \mathbf{w})},$$

т.е. логарифмической функции неправдоподобия.

Таким образом, оптимальной функцией потерь для класса P_1 будет модульная, для класса P_2 — квадратичная, для класса P_5 в виде

$$F_0[e(\mathbf{x}, \mathbf{w})] = -\ln \cos\left(\frac{\pi e}{c}\right).$$

Им соответствуют кривые 3, 1 и 2 на рис. 1.

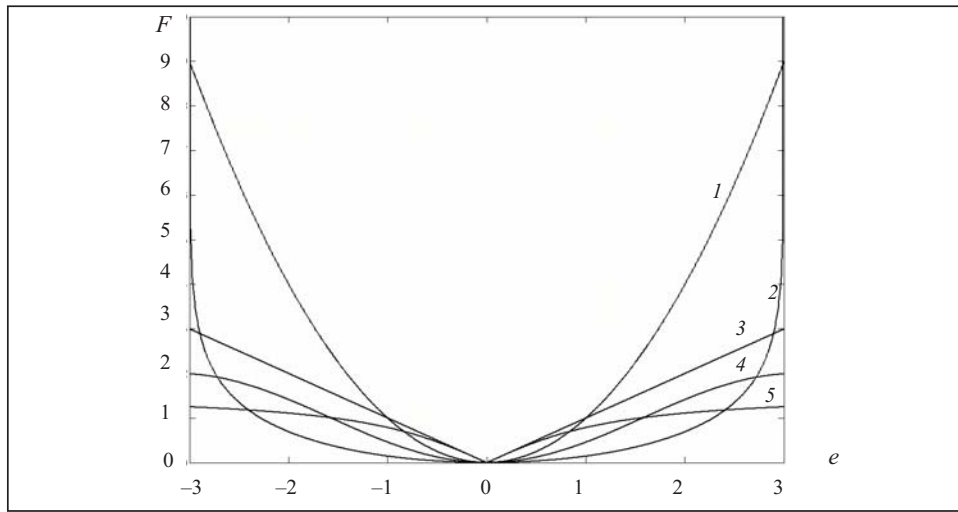


Рис. 1

Для ε -засоренных вероятностных распределений функция F_0 является нелинейной на некотором интервале, определяемом параметрами помех, и линейной вне этого интервала.

В силу того, что модульный критерий позволяет получить оценку, менее чувствительную к «хвостам» распределения помехи, чем МНК-оценка, представляют интерес такие разновидности модульного критерия, как функционал

А. Форсайта, представленный на рис. 2,

$$F[e(k)] = |e(k)|^\lambda, \quad (8)$$

и функционал вида

$$F[e(k)] = \operatorname{arctg} |e(k)|^\lambda, \quad (9)$$

где $0 < \lambda < 2$ (рис. 3).

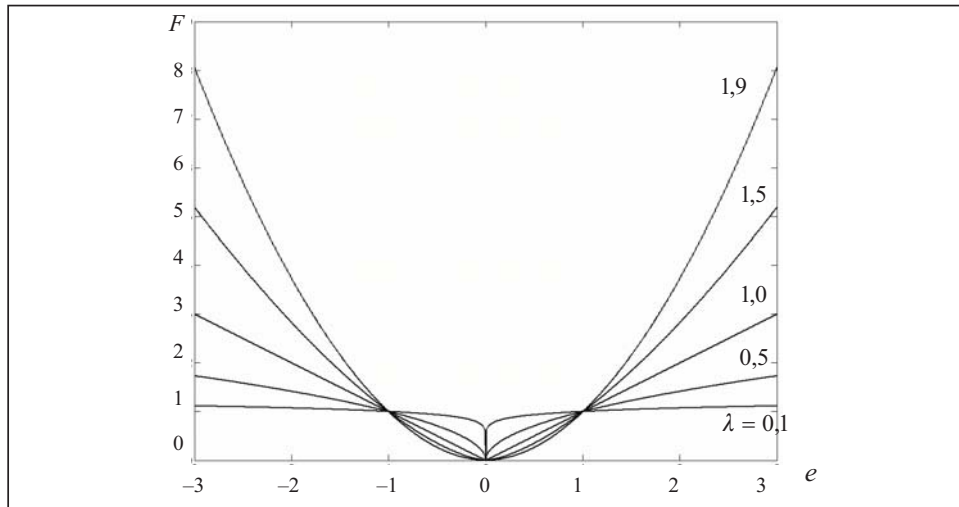


Рис. 2

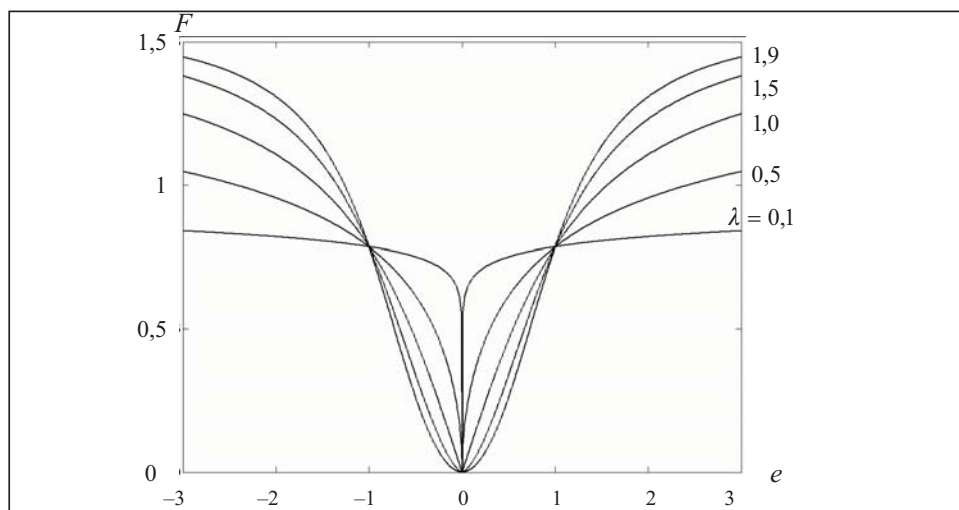


Рис. 3

Кривые, соответствующие функционалам (8) и (9) при $\lambda = 1$, обозначены на рис. 1 цифрами 3 и 5; кривая 4, соответствующая функционалу Д. Эндрюса

$$F[e(k)] = \begin{cases} 1 - \cos\left(\frac{e}{c}\right), & |e| \leq \pi c, \\ 0, & |e| > \pi c, \end{cases}$$

занимает некоторое промежуточное положение между кривыми 3 и 5.

ОПТИМАЛЬНЫЕ АЛГОРИТМЫ ОБУЧЕНИЯ

Если плотность распределения помех $p_0(\xi)$ полностью неизвестна, а известно лишь, что она принадлежит некоторому классу p_k , то для наименее благоприятной на этом классе плотности распределения $p^*(\xi)$ можно получить соответствующий оптимальный алгоритм. Если $p_0(\xi) = p^*(\xi)$, этот алгоритм будет абсолютно оптимальным для класса p_k .

Оптимальные алгоритмы обучения сети представляют собой градиентные процедуры вида

$$\mathbf{w}(k) = \mathbf{w}(k-1) - H(k) \nabla F_0[e(k)], \quad (10)$$

где $H(k)$ — матрица усиления.

Учитывая (4) и то, что $\nabla F_0[e(k)] = F'[e(k)] \nabla f(k)$, где

$$\begin{aligned} \nabla f(k) &= [1, \Phi_1(\mathbf{x}(k)), 2\Phi_1(\mathbf{x}(k))c_1\sigma_1^{-2}(\mathbf{x}(k)-\mu_1)^T, 2\Phi_1(\mathbf{x}(k))c_1\sigma_1^{-3}\|\mathbf{x}(k)-\mu_1\|^2, \dots \\ &\dots, \Phi_N(\mathbf{x}(k)), 2\Phi_N(\mathbf{x}(k))c_N\sigma_N^{-2}(\mathbf{x}(k)-\mu_N)^T, 2\Phi_N(\mathbf{x}(k))c_N\sigma_N^{-3}\|\mathbf{x}(k)-\mu_N\|^2]^T, \end{aligned}$$

можно записать оптимальные алгоритмы обучения следующим образом:

$$\mathbf{w}(k) = \mathbf{w}(k-1) + \frac{P(k-1)\nabla f(k)}{\gamma + \nabla f^T(k)P(k-1)\nabla f(k)} F'[e(k)], \quad (11)$$

$$P(k) = P(k-1) - \frac{P(k-1)\nabla f(k)\nabla f^T(k)P(k-1)}{\gamma + \nabla f^T(k)P(k-1)\nabla f(k)}. \quad (12)$$

Здесь

$$F'[e(k)] = \begin{cases} e(k) & \text{для } p_0(\xi) = N(0, \sigma_\xi)^2, \\ \text{sign}(e(k)) & \text{для } p_0(\xi) = L(0, s_\xi), \\ \frac{2e(k)}{s_\xi^2 + e^2(k)} & \text{для } p_0(\xi) = C(0, s_\xi); \end{cases} \quad (13)$$

$$\gamma = \begin{cases} 1 & \text{для } p_0(\xi) = N(0, \sigma_\xi)^2, \\ s_\xi & \text{для } p_0(\xi) = L(0, s_\xi), \\ s_\xi^2 & \text{для } p_0(\xi) = C(0, s_\xi). \end{cases} \quad (16)$$

$$(17) \quad \gamma = \begin{cases} 1 & \text{для } p_0(\xi) = N(0, \sigma_\xi)^2, \\ s_\xi & \text{для } p_0(\xi) = L(0, s_\xi), \\ s_\xi^2 & \text{для } p_0(\xi) = C(0, s_\xi). \end{cases} \quad (18)$$

Как следует из приведенных соотношений, если алгоритм МНК (11)–(13), (16) инвариантен к параметру масштаба нормального распределения σ_ξ^2 , то оценки МНМ (11), (12), (14), (17) и оценка, соответствующая распределению Коши, зависят от параметра s_ξ . При неизвестной величине s_ξ в этих алгоритмах следует использовать оценку \hat{s} , получаемую, например, с помощью алгоритма стохастической аппроксимации.

Для ε -засоренных вероятностных распределений оптимальные алгоритмы обучения представляют собой комбинированные процедуры вида

$$\mathbf{w}(k) - \mathbf{w}(k-1) = \begin{cases} -H_1(k)F'[e(k)]\nabla f(k) & \text{при } |e(k)| \leq \Delta, \\ -H_2(k)\nabla f(k)\text{sign } e(k) & \text{при } |e(k)| > \Delta, \end{cases} \quad (19)$$

где $H_1(k)$, $H_2(k)$ — матрицы усиления.

ПРОЕКЦИОННЫЕ АЛГОРИТМЫ ОБУЧЕНИЯ

Рассмотренные выше алгоритмы обучения будут работоспособными после $k \geq N+1$ тактов. Если $k < N+1$, обучение сети может осуществляться с помощью проекционных алгоритмов [15]. Следует также отметить, что применение этих алгоритмов целесообразно и в случае, когда исследуемый объект является нестационарным и его параметры изменяются с течением времени.

l -шаговый проекционный алгоритм обучения имеет вид

$$\mathbf{w}(k) = \mathbf{w}(k-1) + \gamma(k) \nabla f_l(k) [\nabla f_l^T(k) \nabla f_l(k)]^{-1} F'_l[e(k)], \quad (20)$$

где $F'_l[e(k)] = (F'[e(k)], 0, 0, \dots, 0)^T$; $\nabla f_l(k) = (\nabla f(k), \nabla f(k-1), \dots, \nabla f(k-l+1))$ — матрицы $(N+1) \times l$; $\gamma(k)$ — параметр, удовлетворяющий условиям Дворецкого.

Более удобная в вычислительном отношении процедура, использующая рекуррентное вычисление матрицы $[\nabla f_l^T(k) \nabla f_l(k)]^{-1}$ вместо ее непосредственного обращения, может быть получена с учетом правил формирования матриц $\nabla f_l(k-1) = (\nabla f_{l-1}(k-1); \nabla f(k-l))$, $\nabla f_l(k) = (\nabla f(k); \nabla f_{l-1}(k-1))$.

В этом случае можно записать

$$\mathbf{w}(k) = \mathbf{w}(k-1) + \gamma(k) \frac{R_{l-1}(k-1)}{\nabla f_l^T(k) R_{l-1}(k-1) \nabla f(k)} F'_l[e(k)], \quad (21)$$

где

$$\begin{aligned} R_{l-1}(k-1) &= I - \nabla f_{l-1}(k-1) [\nabla f_{l-1}^T(k-1) \nabla f_{l-1}(k-1)]^{-1} \nabla f_{l-1}^T(k-1) = \\ &= I - f_{l-1}^{+}(k-1) f_{l-1}^T(k-1). \end{aligned}$$

Здесь $\nabla f_{l-1}^{+}(k-1)$ — матрица, псевдообратная к $\nabla f_{l-1}(k-1)$.

Матрица $R_l(k)$ также вычисляется рекуррентно. Если получение соотношений для ее вычисления при поступлении новой информации достаточно тривиально, то для реализации процедуры сброса следует воспользоваться теоремой Гревиля и следующими соотношениями между матрицами $\nabla f_{l+1}^{+}(k)$ и $\nabla f_l^{+}(k)$ [16]:

$$(\nabla f_l^{+}(k) : 0) = \nabla f_{l+1}^{+}(k) (I - g K^T(k)).$$

Здесь для рассматриваемого случая $l < N$

$$K(k) = \frac{(I - \nabla f_{l+1}(k) \nabla f_{l+1}^{+}(k)) g}{g^T (I - \nabla f_{l+1}(k) \nabla f_{l+1}^{+}(k)) g},$$

$g = (0, 0, \dots, 1)^T$ — вектор $l \times 1$.

Проводя несложные вычисления, получим, что при поступлении новой информации на k -м такте матрица $R_l(k)$ пересчитывается по формуле

$$R_l(k) = R_{l-1}(k-1) + \frac{R_{l-1}(k-1) \nabla f(k) \nabla f^T(k) R_{l-1}(k-1)}{\nabla f^T(k) R_{l-1}(k-1) \nabla f(k)}, \quad (22)$$

а при сбросе устаревшей информации о $(k-l+1)$ -м такте — по формуле

$$R_l(k+1) = R_{l+1}(k+1) + \frac{\hat{\nabla f}(k-l+1) \hat{\nabla f}^T(k)}{\|\hat{\nabla f}(k-l+1)\|^2}, \quad (23)$$

где

$$\nabla \hat{f}(k-l+1) = U_{l+1}(k+1) \nabla f(k-l+1), \quad R_0 = I,$$

$$U_{l+1}(k+1) = (\nabla f_{l+1}^T(k+1) \nabla f_{l+1}(k+1))^+.$$

Входящая в (22), (23) матрица $U_l(k)$, в свою очередь, при поступлении новой информации и сбросе устаревшей вычисляется соответственно по следующим формулам:

$$\begin{aligned} U_{l+1}(k+1) &= U_l(k) - \frac{(U_l(k) + R_l(k)) \nabla f(k) \nabla f^T(k) U_l(k)}{\nabla f^T(k+1) U_l(k) \nabla f(k+1)} + \\ &+ \frac{R_l(k) \nabla f(k+1) \nabla f^T(k+1) R_l(k)}{\nabla f^T(k+1) U_l(k) \nabla f(k+1)} \times \\ &\times \frac{R_l(k) \nabla f(k+1) \nabla f^T(k+1) U_l(k) \nabla f(k) \nabla f^T(k+1) R_l(k)}{\|R_l(k) \nabla f(k+1)\|^2}; \end{aligned} \quad (24)$$

$$\begin{aligned} U_l(k+1) &= U_{l+1}(k+1) - \\ &- \frac{U_{l+1}(k+1) \nabla \hat{f}(k-l+1) \nabla \hat{f}(k-l+1) + \nabla \hat{f}(k-l+1) \nabla \hat{f}^T(k) U_{l+1}(k+1)}{\|\nabla \hat{f}(k-l+1)\|^2} + \\ &+ \frac{\nabla \hat{f}(k-l+1) U_{l+1}(k+1) \nabla \hat{f}(k-l+1)}{\|\nabla \hat{f}(k-l+1)\|^4} \nabla \hat{f}(k-l+1) \nabla \hat{f}^T(k-l+1). \end{aligned} \quad (25)$$

Таким образом, процедуры (21), (22), (24) соответствуют накоплению, а (21), (23), (25) — сбросу устаревшей информации.

МОДЕЛИРОВАНИЕ

Рассмотрена задача идентификации нелинейного динамического объекта при наличии различных помех в выходных сигналах. Объект описывался уравнением

$$y(k) = 0,725 \sin \left(\frac{16u(k-1) + 8y(k-1)}{3 + 4u^2(k-1) + 4y^2(k-1)} \right) + 0,2u(k-1) + 0,2y(k-1) + \xi, \quad (26)$$

где $u(k)$ — входной сигнал, представляющий стационарную случайную последовательность с равномерным законом распределения в интервале $[-1, 1]$, генерируемую датчиком случайных чисел; ξ — помеха измерений с плотностью вероятности (1).

При исследовании использовано 10 000 обучающих пар. Количество нейронов для сетей во всех экспериментах было взято равным 15. Общее количество неизвестных параметров N , определяемых в процессе обучения сетей, равно 61. Некоторые результаты сравнительного анализа рекуррентных алгоритмов МНК, МНМ, комбинированных алгоритмов, построенных на их основе, и двадцатишагового проекционного алгоритма ($l=20$) при использовании различных функционалов приведены в табл. 1. Здесь представлены значения среднеквадра-

тичной ошибки, вычисленной по формуле

$$\theta = \frac{\sqrt{\sum_{i=1}^{2500} (y^*(i) - \hat{y}(i))^2}}{2500}, \quad (27)$$

где y^* — эталонное значение выходного сигнала в случае отсутствия помех измерений; \hat{y} — реальный выходной сигнал сетей.

Таблица 1

Основное распределение	Лапласа ($M = 0, s_\xi = 8$)	Нормальное ($M = 0, \sigma = 0,4$)	Равномерное ($M = 0, \sigma = 0,8$)	Лапласа ($M = 0, s_\xi = 8$)	Нормальное ($M = 0, \sigma = 0,4$)	Без помехи
Засоряющее распределение	—	—	—	Нормальное ($M = 0, \sigma = 2$)	Нормальное ($M = 0, \sigma = 2$)	—
ε	0	0	0	0,05	0,1	0,05
МНК	2,1020	3,0170	3,6120	6,9518	8,0786	6,6651
МНМ	1,8929	3,4673	3,1307	2,3542	3,0718	4,3433
Проекционный алгоритм	$\ e(k)\ ^2$	1,9735	2,8915	2,1381	4,6996	5,5332
	$ e(k) $	1,7208	2,1284	2,7486	1,7290	2,9641
	$\text{arctg} e(k) $	1,8083	2,6765	2,7507	1,7075	2,1231
	$-\ln \cos(e(k))$	1,8541	1,9581	1,8949	1,9299	5,1369
	$1 - \cos\left(\frac{e(k)}{c}\right)$	1,7109 $c = 0,5$	2,6738 $c = 0,5$	2,7633 $c = 0,5$	1,9723 $c = 0,5$	4,0251 $c = 1,5$
МНК+МНМ ($e_{\text{доп}} = 1,2$)	1,6343	2,9408	2,5359	2,9170	3,6414	5,2157
Две сети: $(-4\varepsilon + 0,6) * \text{МНК} + (4\varepsilon + 0,4) * \text{МНМ}$	—	—	—	3,7110	4,3165	5,9186
					6,2804	—

В последних двух строках таблицы приведены результаты моделирования работы алгоритмов — комбинации МНК и МНМ, причем в первом алгоритме использовался МНК, когда ошибка обучения не превышала некоторого заранее заданного значения $e_{\text{доп}}$ (так как выходной сигнал объекта изменяется от -1 до 1 , в эксперименте было принято $e_{\text{доп}} = 1,2$), и МНМ — при нарушении этого условия. Во втором алгоритме использованы две сети, обученные с помощью различных алгоритмов, а для получения значения выходного сигнала сети осуществлялось взвешенное суммирование сигналов обеих сетей с коэффициентом, зависящим от степени засорения ε .

ЗАКЛЮЧЕНИЕ

В основе робастных методов обучения лежат те или иные критерии, позволяющие «подавлять» нежелательные свойства выборок данных, используемых в алгоритмах. Естественной платой за надежность получаемых оценок является некоторая потеря эффективности по сравнению с оптимальными методами обучения при известных статистических характеристиках обрабатываемых данных. Однако если информация о виде плотностей распределения отсутствует, то робастные методы имеют несомненное преимущество, а говорить об их оптимальности или неоптимальности нет никаких оснований [17].

Таким образом, при наличии информации о виде плотности распределения помех выбор алгоритма обучения можно осуществить достаточно просто. Если

такой информации нет, то в качестве функции потерь целесообразно применить какую-либо из рассмотренных разновидностей модульных критериев, а в качестве алгоритма обучения — многошаговые проекционные процедуры. При этом, однако, остается открытым вопрос о выборе оптимального объема l используемой в этих алгоритмах информации. Кроме того, представляет интерес дальнейшее исследование комбинированных алгоритмов обучения, которые получают в результате минимизации различных функционалов.

СПИСОК ЛИТЕРАТУРЫ

1. Moody J., Darken C. Fast learning in networks of locally-tuned processing units // Neural Computation. — 1989. — 1. — P. 281–294.
2. Хайкин С. Нейронные сети: полный курс. — М.: Изд. дом «Вильямс», 2006. — 1104 с.
3. Бодянский Е.В., Руденко О.Г. Искусственные нейронные сети: архитектуры, обучение, применения. — Харьков: ТЕЛЕТЕХ, 2004. — 372 с.
4. Spooner J. T., Passino K. M. Decentralized adaptive control of nonlinear systems using radial basis neural networks // IEEE Trans. Automat. Control. — 1999. — 44, N 11. — P. 2050–2057.
5. Yu D. L., Yu D. W. A new structure adaptation algorithm for RBF networks and its application // Neural Comput.&Application. — 2007. — 16. — P. 91–100.
6. Shilling R.J., Carroll J.J., Al-Ajlouni A.F. Approximation of nonlinear systems with radial basis function neural networks // IEEE Trans. Neural Networks. — 2001. — 12, N 6. — P. 1–15.
7. Руденко О.Г., Бессонов А.А. Идентификация нелинейных нестационарных объектов в реальном времени с помощью радиально-базисных сетей // Кибернетика и системный анализ. — 2003. — № 6. — С. 177–185.
8. Руденко О.Г., Бессонов А.А. Адаптивное управление многомерными нелинейными объектами на основе радиально-базисных сетей // Там же. — 2005. — № 2. — С. 168–176.
9. Вапник В.М. Восстановление зависимостей по эмпирическим данным. — М.: Наука, 1979. — 448 с.
10. Цыпкин Я.З., Поляк Б.Т. Огрубленный метод максимального правдоподобия // Динамика систем. — Горький, 1977. — Вып. 12. — С. 22–46.
11. Цыпкин Я.З. Основы информационной теории идентификации. — М.: Наука, 1984. — 320 с.
12. Хьюбер П. Робастность в статистике. — М.: Мир, 1984. — 304 с.
13. Мудров В.И., Кушко В.Л. Методы обработки измерений (Квазиправдоподобные оценки). — М.: Сов. радио, 1976. — 192 с.
14. Смоляк С.А., Титаренко Б.П. Устойчивые методы оценивания: статистическая обработка неоднородных совокупностей. — М.: Статистика, 1980. — 208 с.
15. Либероль Б.Д., Руденко О.Г. О влиянии помех измерений на свойства проекционных алгоритмов идентификации // Доп. НАН України. — 1995. — № 3. — С. 28–30.
16. Альберт А. Регрессия, псевдоинверсия и рекуррентное оценивание. — М.: Наука, 1977. — 224 с.
17. Rey W. J. J. Robust statistical methods. — Berlin; Heidelberg; New York: Springer, 1978. — 128 p.

Поступила 07.07.2009